

I-21 開水路の弯曲によるエネルギー損失について(第2報)

土木研究所 正員 吉川秀夫
・須賀義三

1. 山人曲流の特性

常流状態の山人曲流は、山人曲角 θ_1 が十分大きいときには(たとえば $\theta_1 > 60^\circ$)下流直線部の影響が顕著に現われ、山人曲の末端より下流、いわゆる forced vortex の仮定が適用できる。⁽¹⁾⁽²⁾下流の直線部に入ると、流速分布は forced vortex の影響の長さ R_2 に向かって徐々に直線化され、外側への水位の盛り上りは遠心力が弱くなるので急激に消え、水平となる。

2. 理論的考察

山人曲によるエネルギー損失として、山人曲の末端から下流直線部へ移る近傍に生じるものを探る。これは他の損失より相当大きいので、方一近似として、二次流による損失を無視して計算してもよい。いま、水平河床の長方形断面山人曲水路(山人曲角はたとえば $\theta_1 > 60^\circ$)を考え、山人曲末端の断面を 1、それより下流で摩擦の影響があまりない範囲の断面 2 を定めれば、運動量の関係は近似的に

$$\int_{R_1}^{R_2} \frac{g}{2} h^2 dt + \int_{R_1}^{R_2} u \cdot u h dt = \frac{g}{2} BH_2^2 + \eta_1 BH_1 U_1^2 \quad (1)$$

と表わされる。断面 1 で forced vortex とするときとすれば、 $u = tc$ より水深 H_1 は

$$h = H_1 + \frac{c^2 B^2}{g} \left(\frac{1}{2} \frac{R}{B} + \frac{1}{12} \right) - \frac{c^2}{2g} (R_1^2 - t^2) \quad (2)$$

である。ここで、 $H_1 = (\frac{1}{B}) \int_{R_1}^{R_2} h dt$ は平均水深である。常数 c は $\Omega = \int_{R_1}^{R_2} h dt$ から定められる。運動量の補正係数 η_1 は断面 2 についても $u = tc'$ とすれば、 $\eta_1 = 1 + \frac{1}{\sqrt{12(R/B)^2}}$ である。これら2つの関係を(1)に入れて整理すれば、

$$\left(\frac{H_2}{H_1} \right)^2 = \frac{1 + 32 \left\{ \left(\frac{R}{B} \right)^2 + \frac{1}{12} \sinh^2 \varphi \right\} + 64 \left\{ \frac{5}{3} \left(\frac{R}{B} \right)^2 + \frac{1}{36} \right\} \sinh^4 \varphi}{1 + 2 \left\{ 1 + \frac{1}{12(R/B)^2} \right\} F_2^2} \quad (3)$$

$$\sinh \varphi = \frac{0.75 F_2}{B} \left(\frac{H_2}{H_1} \right)^{\frac{3}{2}} \quad (3)$$

によって、 $\frac{H_2}{H_1}$ は B に対する断面 2 のフルード数 F_2 の関数として定められる。(3)式からはそれを山人曲、射流に対する根を得られると、 $\frac{H_2}{H_1}$ の小さい方の実根、常流解の性に意義がある。限界条件は式が非常に複雑なので省略する。

断面 1 の平均エネルギーは $E_1 = (\frac{1}{Q}) \int_{R_1}^{R_2} (h + \frac{U_1^2}{2g}) u h dt$ 、断面 2 の平均エネルギーは $E_2 = H_2 + \alpha U_2^2 / 2g$ 、 $\alpha = 1 + \frac{1}{\sqrt{12(R/B)^2}}$ であるから、山人曲の末端部に生じるエネルギー損失 ΔE は、

$$\Delta E = E_1 - E_2 = \frac{U_1^2}{2g} \left[\left\{ 1 + \frac{7}{12} \frac{1}{(R/B)^2} \right\} \left(\frac{H_2}{H_1} \right)^2 + \frac{5}{12} \frac{1}{(R/B)^2} \left\{ 1 + \frac{1}{12(R/B)^2} \right\} F_2^2 \left(\frac{H_2}{H_1} \right)^5 \right. \\ \left. - \frac{2}{F_2^2} \left\{ 1 - \frac{1}{(H_2/H_1)} \right\} - 1 - \frac{1}{4(R/B)^2} \right] \quad (4)$$

となる。(4)式の関係は图-3 のようである。断面 1 の有効巾 B_{eff} として、 $E_1 = H_1 + (\frac{1}{2} g)$

$(U_2 H_2 B / H_1 B_1)^2$ と表わされるふうなものを定義すると、

$$B_{1,e} = B_1 \sqrt{\left(\left(1 + \frac{7}{12} \frac{1}{(R/B)^2} \right) + F_2^2 \left(\frac{H_2}{H_1} \right)^2 \left\{ \frac{5}{12} \frac{1}{(R/B)^3} + \frac{1}{144} \frac{1}{(R/B)^4} \right\} \right)} \quad (5)$$

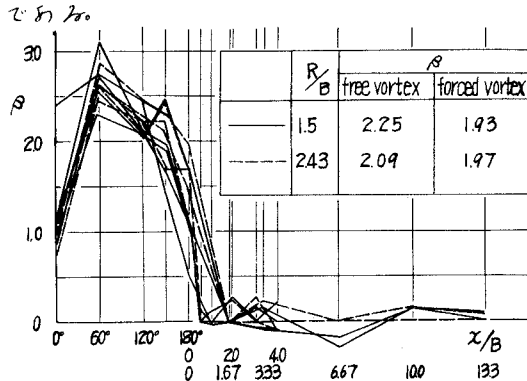


図-1 横断水面勾配の変化

($F_2 = 0.2 \sim 0.6$, $n = 0.015, 0.020$)

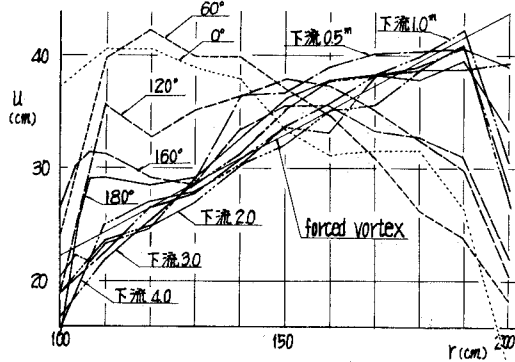


図-2 横断流速分布の変化

($\theta_0 = 180^\circ$, $B = 100 \text{ cm}$, $R/B = 1.5$, $F_2 = 0.2$, $n = 0.015$ 例)

3. 実験による検討

かん曲の外側と内側の水位差を

$$h_o - h_i = \beta \frac{U^2}{2g} \frac{B}{R} \quad (6)$$

と表わしたとき、free vortex では $\beta = 3 / \left(1 - B^2 / (4R^2) \right)$, forced vortex では $\beta = 2 / \left(1 + B^2 / (12R^2) \right)$ である。図-1 は β の変化を表したものであるが、free vortex から末端部で forced vortex になり、下流の直線部に入ると、急激な水位差が生じることを示す。流速分布の変化の様子は図-2 のようであり、末端部より下流では、forced vortex へ移る。断面1, 2間の摩擦の影響は $n = 0.010, 0.015, 0.020$ の3種の実験の結果から判然とした差を認められなく、無視できる程度である。これらはいざしも理論の基づく仮定の妥当性を裏付けた。かん曲の影響は相当下流にまで及ぶが、相当量のエネルギーは直下流で失われてしまうのである。 θ_0 , F_2 , roller 等による制約に関する事項は今後に残された問題である。かん曲による影響を不等流計算に入れる場合には、方一近似として末端部での計算水位 H_2 とここで(5)式の有効幅を出発条件として、上流域の逐次計算を開始すればよい。

[文献] (1)須賀豊三 河川の弯曲部に沿る流速について、土木技術資料 5-4, 1963.4 (土研)

(2)吉川,須賀 用水路の弯曲によるエネルギー損失について(第一報), 18回年次講演会

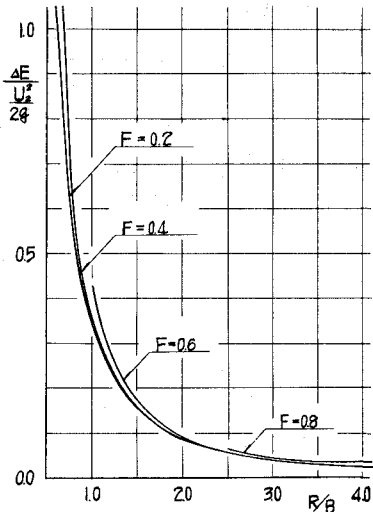


図-3 エネルギー損失